

高等学校数学用书

齿 轮 刀 具

CHILUN DAOJU

(计算与设计)

西安交通大学机械制造
工艺及其设备教研组编



人民教育出版社

高等学校教学用书



齿 輪 刀 具

CHILUN DAOJU

(計算与設計)

西安交通大学机械制造
工艺及其设备教研组編

人民教育出版社

本书是由西安交通大学机械制造工艺及其设备教研组根据数年来的工作经验和贯彻党的教育方针的体会，集体编写而成的。本书可作为高等工业学校和业余大学机械制造工艺及其设备专业金属切削刀具课程的教学参考书，也可供工厂中工具工作者参考。

全书共有十三章，分别介绍了加工圆柱齿轮、蜗杆、蜗轮、锥齿轮和非渐开线齿啮合的刀具，以及它们的计算、设计和特殊的制造工艺。为了便于读者学习和参考，在第一章和第十章内详细地阐述了圆柱齿轮刀具和圆锥齿轮刀具的理论基础。文中着重地介绍了各种高效率的齿轮刀具。例如对于在我国社会主义建设中已发挥显著作用的插齿刀头和滚齿刀具等新型刀具的基本原理，均有清楚的叙述。对国内外在齿轮刀具方面的新成就也有扼要的介绍。

本书由乐允谦主编，参加编写的有金精、郑振龙、许栋梁、杨公仆、林其骏。

齿 轮 刀 具

(计算与设计)

西安交通大学机械制造
工艺及其设备教研组编

人民教育出版社出版 高等学校教学用书审定委员会
北京宣武门内大街27号
(北京市书刊出版业营业登记证字第12号)

中央民族印刷厂印装
新华书店科技发行所发行
各地新华书店经售

第一千零一十五号 888 页本 707×1092 mm 1/16 印张 22 1/2
字数 612,000 中文 00001-10,000 定价(7) ￥2.70
1960年12月第1版 1960年12月北京书局印制

目 录

第一章 圆柱齿轮啮合的基本问题

§ 1-1. 渐开线及其性质	1
§ 1-2. 渐开线齿的基本原理	8
§ 1-3. 渐开线齿啮合的必要条件	5
§ 1-4. 齿轮与齿条的啮合	7
§ 1-5. 齿轮啮合中的“干涉现象”和刀具加工齿轮时的“根切现象”	9
§ 1-6. 直齿圆柱齿轮的修正	13
§ 1-7. 斜齿条和斜齿轮	17
§ 1-8. 螺旋齿啮合	21
§ 1-9. 蜗杆的螺旋面	35
§ 1-10. 蜗杆与蜗轮的啮合	31
§ 1-11. 内齿轮的啮合原理	33

第二章 盘形齿轮铣刀

§ 2-1. 盘形齿轮铣刀的用途	36
§ 2-2. 铣刀组	37
§ 2-3. 加工直齿圆柱齿轮用的盘形齿轮铣刀的齿形	39
§ 2-4. 精加工用的盘形齿轮铣刀结构及主要尺寸	49
§ 2-5. 粗加工用的盘形齿轮铣刀的结构	52
§ 2-6. 加工斜齿圆柱齿轮的盘形铣刀	54

第三章 指形齿轮铣刀

§ 3-1. 指形齿轮铣刀的用途、类型与工作条件	56
§ 3-2. 精切用的指形齿轮铣刀的结构	57
§ 3-3. 指形齿轮铣刀的齿形	58
§ 3-4. 粗切用的指形齿轮铣刀的结构	63
§ 3-5. 指形齿轮铣刀的选齿问题	64

第四章 插齿刀头

§ 4-1. 插齿刀头加工齿轮的原理	70
§ 4-2. 插齿刀头的刃齿齿形	72
§ 4-3. 插齿刀头的切入角度	78
§ 4-4. 插齿刀头的尺寸及制造精度	74

第五章 梳齿刀

§ 5-1. 基本问题	77
§ 5-2. 直齿梳齿刀	77
§ 5-3. 斜齿梳齿刀	81

第六章 插齿刀

§ 6-1. 插齿刀的用途及类型	87
§ 6-2. 外啮合直齿插齿刀的本属和设计原则	90
§ 6-3. 插齿刀的磨削和前面的分析与磨削方法	99

§ 6-4. 外啮合直齿插齿刀的设计步骤	107
§ 6-5. 内啮合直齿插齿刀	109
§ 6-6. 斜齿插齿刀	121
§ 6-7. 修缘插齿刀	130

第七章 齿轮滚刀

§ 7-1. 齿轮滚刀的基本问题	139
§ 7-2. 铣刀的选齿问题	143
§ 7-3. 渐开线滚刀	147
§ 7-4. 阿基米德滚刀(近似造形法的滚刀)	149
§ 7-5. 阿基米德滚刀的造形误差计算法	152
§ 7-6. 法向直廓滚刀(近似造形法的滚刀)	155
§ 7-7. 齿轮滚刀的外径与分圆直径	156
§ 7-8. 精加工用的阿基米德滚刀设计	161
§ 7-9. 法向直廓齿滚刀的设计	166
§ 7-10. 粗加工用的齿轮滚刀设计	166
§ 7-11. 镶齿滚刀的结构	167
§ 7-12. 高生产率的齿轮滚刀	171

第八章 加工蜗杆及蜗轮用的刀具

§ 8-1. 加工普通蜗杆用的刀具	181
§ 8-2. 加工普通蜗轮用的刀具	181
§ 8-3. 加工球面蜗杆用的刀具	193
§ 8-4. 加工球面蜗轮用的刀具	196

第九章 刨齿刀

§ 9-1. 刨齿的一般概念	200
§ 9-2. 盘形刨齿刀的设计	202
§ 9-3. 车刨刀	208
§ 9-4. 刨齿刀齿形的修正	210
§ 9-5. 刨削刀具的齿形设计	210

第十章 加工锥齿轮的基本问题

§ 10-1. 锥齿轮的主要尺寸	215
§ 10-2. 锥齿轮的主要类型	219
§ 10-3. 锥齿轮的加工方法及原理	221
§ 10-4. “简单双面切削法”加工等高齿弧齿锥齿轮的简介	225
§ 10-5. “简单单面切削法”加工等高齿弧齿锥齿轮的简介	230
§ 10-6. 刀齿的齿形角与被切等高齿弧齿锥齿轮的齿形角间的关系	231
§ 10-7. 刀齿的齿形角与被切双面齿弧齿锥齿轮的齿形角间的关系	232
§ 10-8. 用成对的刨刀加工直齿锥齿轮	235

第十一章 加工曲線齒錐齒輪的刀具

- § 11-1. 弧齿锥齿铣刀盘的结构 239
 § 11-2. 弧齿锥齿铣刀盘的刀齿齿形角 247
 § 11-3. 对角线接触及其消除方法 249
 § 11-4. 简单双面切削法中的双面刀具刀齿间距和形成直径的计算 254
 § 11-5. 简单双面切削法中的单面刀具形成直径的计算 260
 § 11-6. 简单单面切削法中刀具形成直径的计算 267
 § 11-7. 刀体基距、刀齿芯距和垫片厚度 268
 § 11-8. 弧齿锥齿铣刀盘的刀齿切削角度 270
 § 11-9. 半展成法加工弧齿锥齿轮 278
 § 11-10. 单刃导法加工弧齿锥齿轮 279
 § 11-11. 圆弧形切削刃的铣刀盘 281
 § 11-12. 连续切削法的铣刀盘 283
 § 11-13. 锥形滚刀 287

第十二章 加工直齿锥齿轮的刀具

- § 12-1. 成对的直齿锥齿轮精刨刀 288

- § 12-2. 加工直齿锥齿轮的高生产率刀具 298
 § 12-3. 极加工直齿锥齿轮用的刀具 301
- 第十三章 加工非渐开线齿形工件的刀具**
- § 13-1. 基本概念 306
 § 13-2. 展成滚刀 308
 § 13-3. 成形滚刀 325
 § 13-4. 组合切削法的滚刀 341
 § 13-5. 加工花键轴用的插齿刀齿形求法 346
 § 13-6. 加工花键孔用的插齿刀齿形求法 348
 § 13-7. 用渐开线代数插齿刀的理论齿形曲线 350
 § 13-8. 关于插齿刀在刃磨后仍加工出准确的工作齿形问题 352
 § 13-9. 按平面啮合原理工作的展成车刀 355
 § 13-10. 按空间啮合原理加工齿轮及花键轴的车齿刀 357

参考节目 359

第一章 圓柱齒輪嚙合的基本問題

§ 1-1. 漸開線及其性質

若一直線 \overline{MM} 在半徑為 r_0 的圓周上滾動(圖 1-1), 則此直線上任意點 B 的軌迹 AB 稱為漸開線, 半徑為 r_0 的圓稱為基圓, 而直線 \overline{MM} 稱為發生線。

漸開線上任意點 B 的位置可用漸開角 θ_s 和向量半徑 r_s 表示。基圓半徑 \overline{OA} 和 \overline{OC} 間的夾角 τ_s 稱為漸開線展開角; 向量半徑 \overline{OB} 和基圓半徑 \overline{OC} 間的夾角 a_s 稱為壓力角。

由於 C 點是發生線相對於基圓滾動時的瞬時中心, 所以線段 \overline{BC} 就是漸開線上 B 點的曲率半徑, 其長度以 ρ_s 表示。因而 \overline{BC} 的方向就是漸開線在 B 點的法線方向, 也就是說, 漸開線上任意點的法線是和基圓相切的。同時, 由上述可知, 漸開線上任意點 B 的向量半徑 \overline{OB} 與漸開線在 B 點的切線所夾的角, 也就是 B 點的壓力角。

$$\text{由於 } \quad \operatorname{tg} a_s = \frac{\rho_s}{r_0}, \quad (1-1)$$

而式中的 r_0 為常數, ρ_s 為變數, 所以漸開線上各點的壓力角是不相同的: 在漸開線的開始點 A , 壓力角為零, 畦基圓圓周愈遠的點, 其壓力角愈大。由圖 1-1 可得下列幾何關係:

$$\tau_s = \operatorname{tg} a_s, \quad (1-2)$$

$$\theta_s = \tau_s - a_s = \operatorname{tg} a_s - a_s = \operatorname{inv} a_s, \quad (1-3)$$

$$\cos a_s = \frac{r_0}{r_s}. \quad (1-4)$$

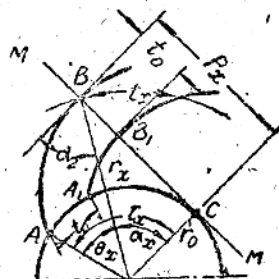


圖 1-1. 漸開線。

公式(1-3)和(1-4)即為漸開線的參變方程式, 其中 θ_s 和 r_s 為漸開線上任意點的坐標, a_s 為參變數。

由公式(1-4)可得下列關係式: $r_0 = r_s \cos a_s. \quad (1-5)$

這是一個非常重要的關係, 即漸開線上任意點的向量半徑與該點壓力角余弦的乘積, 总是等於基圓半徑。

由公式(1-3)可得漸開線以 θ_s 和 r_s 直接表示的方程式為

$$\theta_s = \frac{\sqrt{r_s^2 - r_0^2}}{r_0} - \operatorname{tg}^{-1} \frac{\sqrt{r_s^2 - r_0^2}}{r_0}. \quad (1-6)$$

發生線上另一點 B_1 也有其相當的漸開線 A_1B_1 , 它的形狀完全和 AB 相同。 AB 和 A_1B_1 沿漸開線法線方向的距離等於發生線上的線段 $\overline{BB_1}$ 的長度。由圖 1-1 可見: 同方向的相鄰兩漸開線間的基圓圓周距離 t_0 等於它們在公法線上的距離 $\overline{BB_1}$, 距離 t_0 稱為基圓齒距。從圖 1-1 亦可見, 任何圓周上的齒距 t_s 可按下式決定:

$$\frac{t_s}{t_0} = \frac{r_s}{r_0},$$

由此可得 $t_s = t_0 \frac{r_s}{r_0} = \frac{t_0}{\cos \alpha_s}, \quad (1-7)$

由上式又可得下列关系式：

$$t_s = t_0 \cos \alpha_s. \quad (1-8)$$

图 1-2 为两个渐开线接触时的情形，它们的基圆半径各为 r_{01} 和 r_{02} ，中心距为 A 。根据上述的渐开线性质可知：不论两渐开线在任何位置接触，它们的接触点 Q 总是在两基圆的内公切线 $\overline{A_1 A_2}$ 上，这个公切线称为啮合线。

设在接触转动中任一瞬时，两渐开线的旋转角速度各为 ω_1 与 ω_2 ，即可根据接触点法向分速度 \vec{Q}_n 相等的原理，证明出下式：

$$i = \frac{\omega_1}{\omega_2} = \frac{r_{02}}{r_{01}}, \quad (1-9)$$

上式的意义是：当两渐开线接触转动时，它们的传动比 i 是一常数，仅决定于两渐开线的基圆半径而与中心距无关。因此，若 ω_1 为一等速，则 ω_2 为缩小（或放大）若干倍的等速。这个性质，使得渐开线能用来作为齿轮传动的齿形。

由图 1-2 可知：

$$\frac{r_{02}}{r_{01}} = \frac{\overline{O_2 P}}{\overline{O_1 P}} = \frac{r_2}{r_1}, \quad (1-10)$$

所以

$$\frac{\omega_1}{\omega_2} = \frac{r_2}{r_1},$$

或

$$\omega_1 r_1 = \omega_2 r_2. \quad (1-11)$$

上式的意义是：当两渐开线接触转动时，它们的相对运动关系，就等于有另外两个圆周在纯滚动，这两个圆的半径 r_1 和 r_2 等于两基圆连心线和公切线的交点 P 到各基圆中心的距离。这两个圆称为节圆，而 P 点称为啮合节点。

很显然的，两节圆半径之和等于中心距，即

$$r_1 + r_2 = A. \quad (1-12)$$

因此，当两渐开线的基圆半径 r_{01} 和 r_{02} 以及它们的啮合中心距 A 为已知值时，它们的节圆半径 r_1 和 r_2 ，可由公式(1-10)及(1-12)解得，即

$$\left. \begin{aligned} r_1 &= A - \frac{r_{01}}{r_{01} + r_{02}}; \\ r_2 &= A - \frac{r_{02}}{r_{01} + r_{02}}. \end{aligned} \right\} \quad (1-13)$$

通过啮合节点 P 作一直线垂直于连心线，则此所作直线与啮合线 $\overline{A_1 A_2}$ 间的夹角 α 称为啮合角。很显然的，这个啮合角就等于上述两渐开线在各自节圆上的压力角，因为

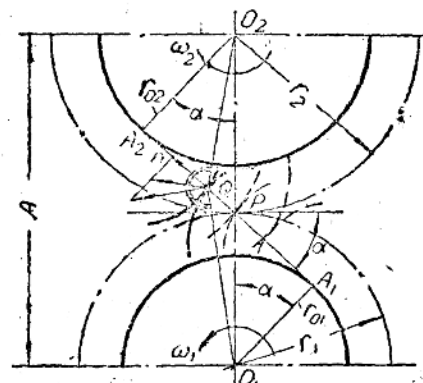


图 1-2. 渐开线接触。

$$\cos \alpha = \frac{r_{01}}{r_1} = \frac{r_{02}}{r_2}; \quad (1-14)$$

或者

$$\cos \alpha = \frac{r_{01} + r_{02}}{A}. \quad (1-15)$$

综上所述：当两渐开线接触转动时，传动比为一常数，等于它们的基圆半径的反比值，而与中心距无关；但节圆半径和啮合角则随中心距的增减而增减，而啮合角始终是渐开线在节圆上的压力角。

由图 1-2 可知：两个接触渐开线中的任一渐开线，是两节圆纯滚动过程中另一渐开线的无数相对位置的包络线。图 1-3 中系假定节圆 1 不动，而节圆 2 绕节圆 1 的轴线 O_1 转动（两个节圆圆周纯滚动）。此时滚动的渐开线在运动中的无数位置的包络线就是基圆半径为 r_{01} 的渐开线。很明显的，这两个节圆的相对运动仍与图 1-2 相同。如果两个轴线 O_1 及 O_2 都在固定位置，则当它们按 $i = \frac{r_{02}}{r_{01}} = \frac{r_2}{r_1}$ 的规律旋转时，其中某一渐开线相对于另一节圆运动的无数位置的包络线也就成为另一渐开线，后者的基圆半径决定于前者的基圆半径及滚动比 i 。

§ 1-2. 渐开线齿轮的基本要素

渐开线齿轮的基本要素是：齿数 Z 、模数 m （毫米）、分圆上的压力角或所谓齿形角 α （度）、齿高系数 f 和径向间隙系数 C' （图 1-4）。

知道了齿数 Z 和模数 m 后，可得分圆直径为

$$d_s = mZ \text{ 毫米.} \quad (1-16)$$

或分圆半径为

$$r_s = \frac{mZ}{2} \text{ 毫米.} \quad (1-17)$$

知道分圆半径 r_s 和齿形角 α 后，可得基圆半径

$$r_b = r_s \cos \alpha \text{ 毫米.} \quad (1-18)$$

有了基圆尺寸，则齿轮的渐开线齿形就一定了。

由公式(1-16)可得分圆齿距为

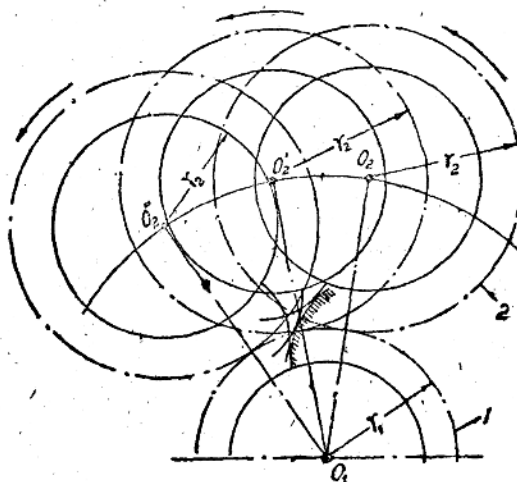


图 1-3. 纯滚动中的包络线。

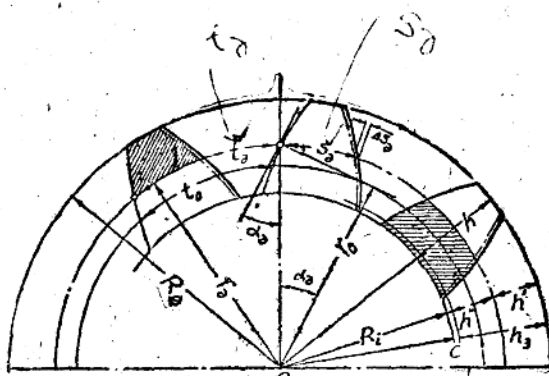


图 1-4. 渐开线齿轮的基本要素。

$$t_2 = \frac{\pi d_2}{Z} = m\pi \text{ 毫米。} \quad (1-19)$$

因此，基圆齿距为 $t_2 = t_2 \cos \alpha_2 = m\pi \cos \alpha_2$ 毫米。 (1-20)

对于标准齿轮来说，分圆上的理论齿厚为

$$S_2 = \frac{t_2}{2} = \frac{m\pi}{2} \text{ 毫米。} \quad (1-21)$$

但为了使齿轮在传动中有一定侧向间隙 C_n ，应使分圆上的理论齿厚减小某一数值 ΔS_2 ，此值称为作薄量；因此，分圆上的实际齿厚为

$$S_2 = \frac{m\pi}{2} - \Delta S_2 \text{ 毫米。} \quad (1-21a)$$

侧向间隙 C_n 的数值随齿轮的啮合条件并按中心距的大小而决定。

知道了齿高系数 f 及径向间隙系数 C' 后，则可得：

$$\text{齿顶高 } h' = fm \text{ 毫米; } \quad (1-22)$$

$$\text{齿根高 } h'' = (f + C')m \text{ 毫米; } \quad (1-23)$$

$$\text{齿全高 } h = h' + h'' = (2f + C')m \text{ 毫米; } \quad (1-24)$$

$$\text{牙齿工作高度 } h_s = h - C'm = 2fm \text{ 毫米; } \quad (1-25)$$

$$\text{径向间隙 } C = C'm \text{ 毫米; } \quad (1-26)$$

$$\text{顶圆半径 } R_o = r_2 + h' = \left(\frac{Z}{2} + f\right)m \text{ 毫米; } \quad (1-27)$$

$$\text{根圆半径 } R_i = r_2 - h'' = \left(\frac{Z}{2} - f - C'\right)m \text{ 毫米。} \quad (1-28)$$

至于基圆和根圆的相对位置是随齿轮的齿数、齿高系数、径向间隙系数及齿形角而改变的，可由下列分析决定：

$$\text{分圆与根圆的半径之差为 } h'' = (f + C')m; \quad (a)$$

$$\text{分圆与基圆的半径之差为 } r_2 - r_o = r_2 (1 - \cos \alpha_2) = \frac{mZ}{2} (1 - \cos \alpha_2). \quad (b)$$

如果 (a) 式大于 (b) 式，则根圆在基圆的里边；反之，根圆在基圆的外边。当 $\alpha_2 = 20^\circ$, $f = 1$, $C' = 0.20$ 时，则当 $Z \leq 39$ 时，根圆在里边；当 $Z > 39$ 时，基圆在里边。

在上述的基本要素中，模数已经标准化了。其值为 0.3; 0.4; 0.5; 0.6; 0.7; 0.8; 1; 1.25; 1.5; 1.75; 2; 2.25; 2.5; (2.75); 3; (3.25); 3.5; (3.75); 4; (4.25); 4.5; 5; 5.5; 6; 6.5; 7; 8; 9; 10; 11; 12; 13; 14; 15; 16; 18; 20; 22; 24; 26; 28; 30; 33; 36; 39; 42; 45; 50。大于 50 毫米时，则每一种模数增加 5 毫米。

齿形角也已标准化了，为 $\alpha_2 = 20^\circ$ ，但在某些用途的齿轮上仍有采用 $14\frac{1}{2}^\circ$ 、 15° 或 $17\frac{1}{2}^\circ$ 等的齿形角。径向间隙系数为 $C' = 0.20 \sim 0.35$ ；对于圆柱齿轮，标准值为 0.25；当用盘形齿条铣刀加工齿轮时，常取为 0.20；当用插齿刀及剃齿刀加工齿轮时，可增大到 0.35。

§ 1-3. 渐开线齿轮啮合的必要条件

图 1-5 为两个标准齿轮沿分圆相切啮合的情形。啮合的基本条件是：它们的齿形角 α_2 和模数 m 必须分别相等。也就是说，它们的基本齿距 t_0 必须相等（公式 1-20）。由于齿形角 α_2 （即分圆上的压力角）相等，所以此时的节圆就是分圆，因为由公式(1-18)可知

$$r_1 = \frac{Ar_{01}}{r_{01} + r_{02}} = \frac{(r_{21} + r_{22})r_{01}\cos\alpha_2}{(r_{21} + r_{22})\cos\alpha_2} = r_{21};$$

同样可得

$$r_2 = r_{22}.$$

由于模数 m 相等，所以它们的节圆（此时即为分圆）齿距 t 也相等，即

$$t = t_2 = m\pi.$$

因而前一对牙齿的啮合就不会与后一对牙齿的啮合发生矛盾。

由于分圆就是节圆，所以啮合角 α 等于齿形角 α_2 。

这一对齿轮的传动比为

$$i = \frac{r_2}{r_1} = \frac{r_{22}}{r_{21}} = \frac{mZ_2}{mZ_1} = \frac{Z_2}{Z_1}. \quad (1-29)$$

假如这一对齿轮的牙齿无作薄量，则牙齿的两面都在作无侧向间隙的啮合，一面的啮合线为 A_1A_2 ，而另一面的啮合线为 B_1B_2 。因此，设想两齿轮中的某一齿轮为刀具，而另一齿轮为尚无牙齿的圆坯，令它们在中心距 $A = r_{21} + r_{22}$ 的相对位置上以传动比 $i = \frac{Z_2}{Z_1}$ 相对转动，则刀具就能在圆坯上切出相同模数和相同齿形角的齿轮^①。但为了使被切齿轮得到一定的齿根高，刀具的齿顶高还必须加大一个大小等于径向间隙 C 的数值。

设想上述两齿轮的中心距 A 略大于 $r_{21} + r_{22}$ ，则两分圆不相切了。但是这两个齿轮仍可啮合传动（图 1-6），所不同的仅在于此时的节圆半径、啮合角及节圆齿距都增大了，这可分别地由公式(1-13)、(1-15)及(1-7)看出。

但由于这两个齿轮的基本齿距 t_0 相等，所以它们的节圆齿距虽都增大了，但仍相等，为

$$t = \frac{t_0}{\cos\alpha},$$

式中 α ——此时的啮合角。

因此，前一对牙齿的啮合还是不会与后一对牙齿的啮合发生矛盾的。

此时的传动比仍为

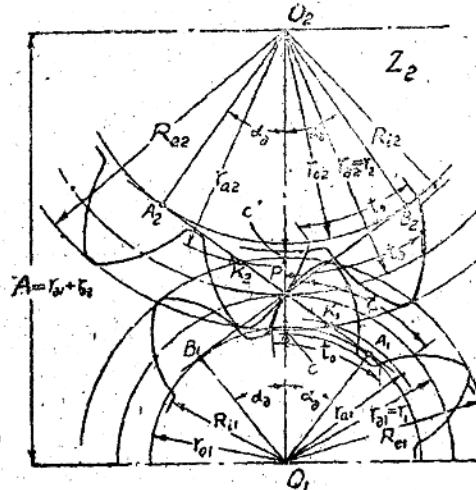


图 1-5. 两齿轮啮合。

^① 切削过程中，刀具尚须有进给运动。

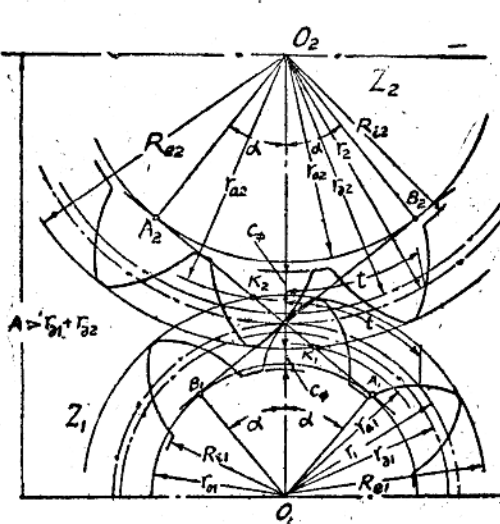


图 1-6. 两齿輪在改变了中心距时的嚙合。

坯上切出相同模數和相同齒形角的齒輪，但切出的齒輪分圓齒厚必小於標準齒厚，而齒根高大於標準值。

齒輪要能連續不斷地嚙合傳動，必須在一对牙齒嚙合終止之前，後面一对牙齒就已開始嚙合起來。在圖 1-6 中，頂圓（半徑為 R_{e1} 和 R_{e2} ）與嚙合線的交點 K_1 和 K_2 稱為極限嚙合點。漸開線在極限嚙合點的曲率半徑可從圖中求得為

$$\left. \begin{aligned} \rho_{a1} &= \overline{A_1 K_1} = A \sin \alpha - \sqrt{R_{e2}^2 - R_{02}^2}; \\ \rho_{a2} &= \overline{A_2 K_2} = A \sin \alpha - \sqrt{R_{e1}^2 - r_{01}^2}. \end{aligned} \right\} \quad (1-30)$$

極限嚙合點的半徑各為

$$\left. \begin{aligned} r_{a1} &= \sqrt{r_{01}^2 + \rho_{a1}^2} = \sqrt{r_{01}^2 + (A \sin \alpha - \sqrt{R_{e2}^2 - r_{02}^2})^2}; \\ r_{a2} &= \sqrt{r_{02}^2 + \rho_{a2}^2} = \sqrt{r_{02}^2 + (A \sin \alpha - \sqrt{R_{e1}^2 - r_{01}^2})^2}. \end{aligned} \right\} \quad (1-31)$$

一對牙齒在嚙合線的 $\overline{K_1 K_2}$ 線段上互相接觸，這一線段的長度稱為嚙合長度，以 l 表之，

$$\begin{aligned} l &= \overline{K_1 K_2} = \overline{A_1 A_2} - (\overline{A_1 K_1} + \overline{A_2 K_2}) \\ &= A \sin \alpha - (2A \sin \alpha - \sqrt{R_{e2}^2 - r_{02}^2} - \sqrt{R_{e1}^2 - r_{01}^2}) \\ &= \sqrt{R_{e1}^2 - r_{01}^2} + \sqrt{R_{e2}^2 - r_{02}^2} - A \sin \alpha. \end{aligned} \quad (1-32)$$

嚙合長度與基圓齒距的比值稱為重迭系數，以 ϵ 表之，所以

$$\epsilon = \frac{l}{t_0}. \quad (1-33)$$

ϵ 愈大表示同時參與嚙合的牙齒對數愈多。很明顯的，齒輪要能連續不斷地嚙合傳動， ϵ 至少要等於 1。

此外，齒輪要能正常地嚙合，還須遵守一個重要的條件，即齒輪牙齒在其配偶齒輪齒槽中相

$$\dot{\epsilon} = \frac{r_{01}}{r_{02}} = \frac{r_{02} \cos \alpha_2}{r_{01} \cos \alpha_2} = \frac{r_{22}}{r_{01}} = \frac{mZ_2}{mZ_1} = \frac{Z_2}{Z_1}.$$

另外，無須證明即可知道，此時的側向間隙與徑向間隙都增大了。由於側向間隙加大，所以牙齒只有一面嚙合；由於徑向間隙加大，所以牙齒漸開線實際參加工作的長度也減小了。此時設想某一個齒輪為刀具，而另一個齒輪為尚無牙齒的圓坯，令它們在中心距 $A > r_{01} + r_{02}$ 的相對位置上以傳動比 $\dot{\epsilon} = \frac{Z_2}{Z_1}$ 相對轉動，則刀具也能在圓坯上切出相同模數和相同齒形角的齒輪，但切出的齒輪分圓齒厚必大於標準齒厚，而齒根高小於標準齒根高。相反的，若令刀具與齒輪在中心距 $A < r_{01} + r_{02}$ 的相對位置上仍以傳動比 $\dot{\epsilon} = \frac{Z_2}{Z_1}$ 相對轉動，則刀具還是可以在圓

对运动的轨迹不应干涉配偶齒輪牙齿根部的渐开線及过渡曲線。这个問題。我們在 §1-5 中詳細說明。

§ 1-4. 齿輪与齿条的啮合

齿条可以視為齿数是无穷多的齒輪。由渐开線齒輪轉变而成的齿条，其分圓、基圓、頂圓及根圓都成为直線。而更重要的是：其齒形也由渐开線轉变为直线，这是因为基圓半徑等于无穷大的緣故。因此，其齒形上各点的压力角和齿距皆成为常数，齿形角仍用 α_2 表示；齿距則以 t 表示（图 1-7）。

$$t = m\pi \text{ 毫米。} \quad (1-34)$$

在齿条牙齿的中綫 $W-W$ 上，理論齒厚 S 与槽寬相等，各为齿距之半，即为 $\frac{t}{2}$ 。齿頂高 h' 及齿根高 b' 仍各为 fm 及 $(f+C)m$ ，均自中綫量起。基圓齿距为同方向的邻近二齿側的垂直距离，仍用 t_0 表示，因此

$$t_0 = t \cos \alpha_2 \text{ 毫米。} \quad (1-35)$$

齿条与齒輪的啮合条件，仍与上节所说的相同。

图 1-7 为齿条以中綫与齒輪分圓相切啮合时的情况。根据啮合条件，齒輪的齒形角必须等于齿条的齒形角（即 $\alpha_2 = \alpha_1$ ），而齒輪的分圓齿距也必须等于齿条的齿距（即 $t_0 = t$ ）。很明显的，此时的啮合角 α 就是齒形角 α_2 ，而齒輪的分圓就是純滚动的节圆，以及齿条的中綫就是純滚动的节綫。

它们的滚动比是：当齿条沿中綫方向移动一个齿距 t 时，齒輪的分圓轉过一个齿距 t_0 。假使牙齿无作薄量，则牙齿的两面都能作无侧向間隙的啮合。設想齿条（或齒輪）为刀具，而齒輪（或齿条）为无牙齿的毛坯，令它们在图示的位置上按上述的滚动比作相对运动，则刀具就能切出模数相同和齒形角相同的齒輪（或齿条）。但为了得到一定的齿高，则刀具的齿頂高必須加大一个大小等于徑向間隙 C 的数值。

設想将齿条中綫与齒輪的分圓略为分开一些距离（图 1-8），则它们仍可啮合傳动，此时齒輪的节圆仍为其分圓，但齿条的节綫就不再是其原来的中綫了，而是与齒輪分圓相切且平行于中綫

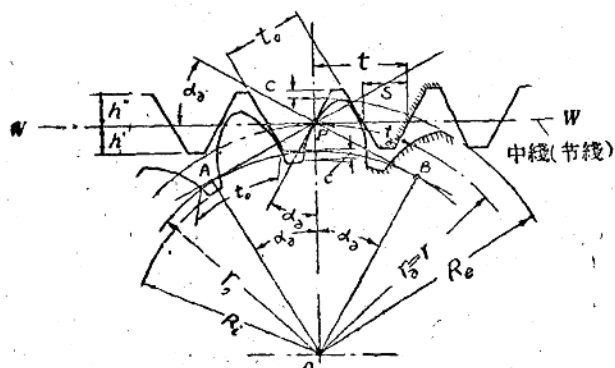


图 1-7. 齿輪与齿条啮合。

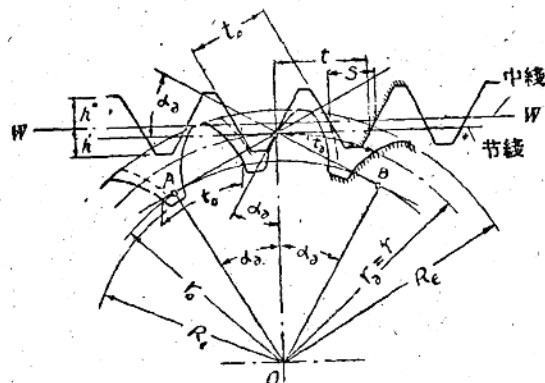


图 1-8. 齿輪和齿条在改变了的位置上啮合。

的一直线。因而此时的滚动比和啮合角都未改变。

此时的侧向和径向间隙都加大了，所以只能一面啮合而另一面齿形实际参加工作的长度也减小了。此时设想将齿条（或齿轮）作为刀具，而齿轮（或齿条）为无牙齿的毛坯，令它们在图示的位置上按上述的滚动比作相对运动，则刀具也能切出模数相同和齿形角相同的齿轮（或齿条），但被切出的工作齿厚将大于标准齿厚，而齿根高小于标准齿根高。相反的，若令刀具和工件的相对位置移得比图1-7所示位置更靠近一些，则亦可切出相同模数和相同齿形角的工件，但被切出的工作齿厚将小于标准齿厚，而齿根高大于标准齿根高。

我们常听到一个名词叫做“齿轮的原始齿形”。它的意义为：对于圆柱齿轮是指齿条牙齿的齿形；对于圆锥齿轮是指平面齿轮牙齿法向剖面中的齿形。如果这齿条和平面齿轮的牙齿按原始齿形的齿槽制成（“工作齿条”及“工作平面齿轮”），则当它们与被切齿轮在正常的相对位置上纯滚动时，就能决定出被切齿轮牙齿的形状和理论尺寸。

原始齿形如图1-9,a所示；但当齿轮的圆周速度大于一定数值时，应采用图1-9,b所示的修缘的原始齿形。图中的数值 $h_c=0.45m$ ，而修缘深度系数 a_c 随齿轮的模数及精度等级而定，模数愈小或精度愈差时 a_c 应愈大。粗略地说， a_c 的数值约为0.005—0.02。

最后，我们再来谈一谈齿条与齿轮啮合的另一个特征。在前面曾说过，渐开线齿轮与齿条啮合的基本条件仍为基圆齿距必须相等。由此可以推论：对于一定的齿轮，有无穷多的形状不同的齿条能和它啮合，只要这些齿条的基圆齿距等于该齿轮的基圆齿距。

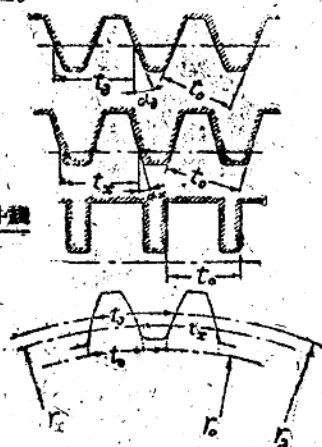
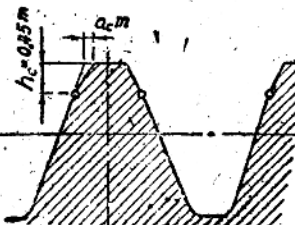
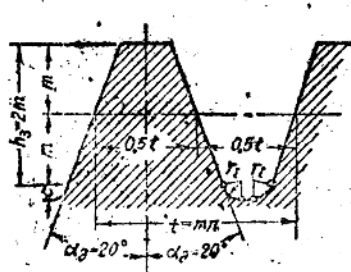


图1-9. 齿轮的原始齿形。

图1-10. 轮与同一齿轮啮合的各齿条。

例如，图1-10中几个形状不同的齿条均能与图中的齿轮啮合，因为

$$t_s \cos \alpha_s = t_0 \cos \alpha_0 = t_0 \cos 0^\circ = t_0$$

式中 t_s 、 t_0 及 t_0 为各齿条的齿距，它们分别地等于齿轮上半径为 r_s 、 r_0 及 r_0 的圆周上的齿距。式中 α_s 、 α_0 及 0° 为各齿条的齿形角，它们分别地等于齿轮牙齿渐开线在半径为 r_s 、 r_0 及 r_0 处的压力角。

很明显的，这个齿轮与各齿条啮合的节圆和啮合角就是上述的各圆及其压力角。并且，要使

各齿条与该齿轮啮合时无侧向间隙，必须使各齿条齿线上的齿厚等于齿轮上相应节圆上的齿槽宽度。

由于 $m = \frac{t}{\pi}$ ，所以上述各齿条的模数是各不相等的，即

$$m_a = \frac{t_2}{\pi}; \quad m_b = m = \frac{t_2}{\pi}; \quad m_0 = \frac{t_0}{\pi}.$$

因此可得

$$m_a \cos \alpha_2 = m \cos \alpha_2 = m_0. \quad (1-36)$$

齿形角小于标准齿形角 α_2 的齿条，可称为小压力齿条，而齿形角等于零的齿条，可称为零度齿条。在齿槽的加工中，常因为利用上述的这个特征，给我们带来一定的便利和优点。

§ 1-5. 齿轮啮合中的“干涉現象”和刀具加工齿轮时的“根切現象”

在设计刀具及制造齿轮时，如果不给齿轮牙齿根部齿形以适当的注意，则所制齿轮可能与其配用齿轮发生干涉而不能啮合，或者所制齿轮将在加工过程中被刀具切根，因而削弱牙齿的强度。

图 1-11 是齿条与齿数较多的齿轮啮合时的情况，此时

$$\frac{mZ}{2} \sin^2 \alpha_2 > fm,$$

$$\text{即 } Z > \frac{2f}{\sin^2 \alpha_2}, \quad (1-37)$$

当 $\alpha_2 = 20^\circ$, $f = 1$ ，则为 $Z > 17$ 。

在此情况下，齿条齿顶与齿轮齿根的极限啮合点 B 是在啮合线的最大允许范围以内。在纯滚动过程中，齿条齿形在齿轮平面上的相对运动轨迹的包络线为 $EBDK$ （图中只给出一部分包络线，右边还有一半，与此对称）。其中线段 EB 是渐开线，它是齿条牙齿左侧直线齿形的相对运动轨迹的包络线；线段 BD 是齿条的齿角 V 点的相对运动轨迹，它是齿条的齿角 V 点的相对运动轨迹的一部分；线段 DK 是齿条齿顶直线相对运动轨迹的包络线，它是一段圆弧，其半径等于 $r_2 - fm$ 。

包络线 $EBDK$ 就是齿条牙齿在啮合过程中向齿轮要求的“最高齿槽轮廓”，如果齿轮的齿槽

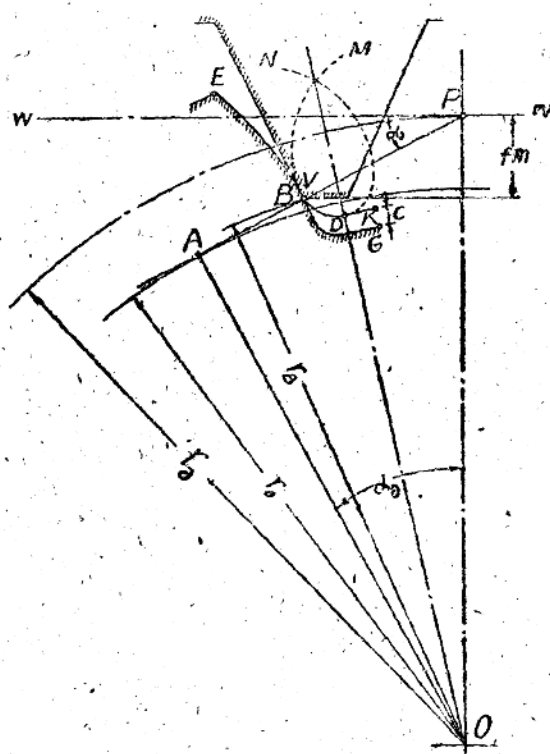


图 1-11. 齿条与齿数较多 ($Z > 17$) 的齿轮啮合。
是齿条齿顶直线相对运动轨迹的包络线，它是一段圆弧，其半径等于 $r_2 - fm$ 。

就按这包絡線形状制出，理論上它是能与齿条啮合的，但无徑向間隙。事实上为了啮合順利，必須将齒輪齒槽底部的曲綫(又称过渡曲綫)做得低于“最高齒槽輪廓”，例如图中做成曲綫 BG ，这就保証不发生干涉。但是，若将过渡曲綫做成高于“最高齒槽輪廓”，即便是高出一点点，则齒条牙齿就不能自由地通过，这就叫做干涉。

可以證明^①: 延長漸開線 $MBDN$ 是和漸開線 EB 相切于 B 点的, 切点 B 到齿輪中心的半徑为

$$r_B = \sqrt{r_0^2 + \left(r_0 \sin \alpha_0 - \frac{fm}{\sin \alpha_0} \right)^2} = m \sqrt{\frac{Z^2}{4} - fZ + \frac{f^2}{\sin^2 \alpha_0}}. \quad (1-38)$$

图 1-12, a 是齿条与齿数较少的齿轮啮合时的情形, 此时

$$Z < \frac{2f}{\sin^2 g_2}, \quad (1-39)$$

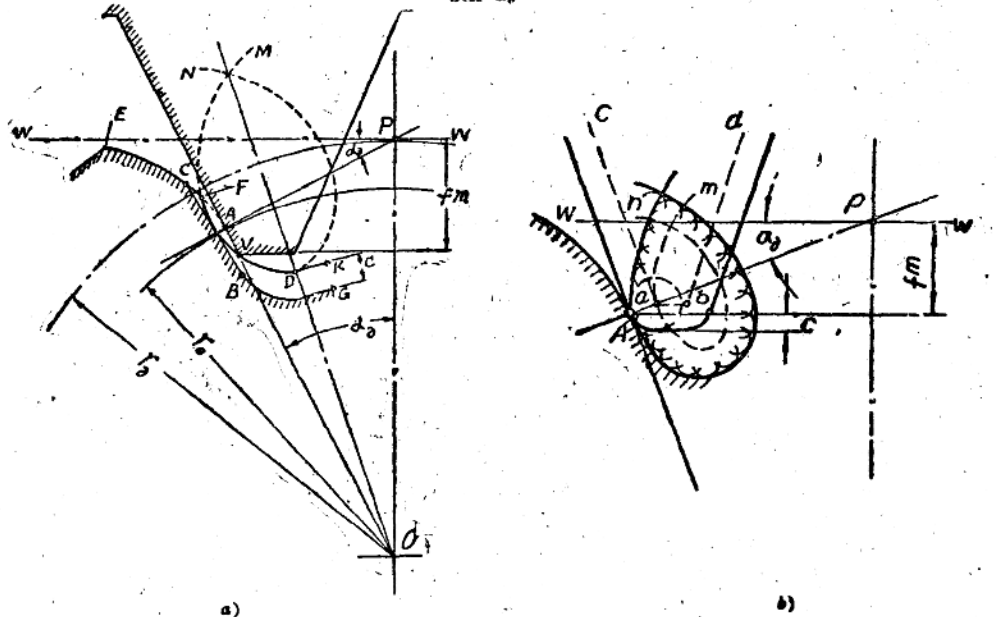


图 1-12. 齿条和齿数较少($Z \leq 17$)的齿轮啮合。

当 $\alpha_3 = 20^\circ$, $f = 1$, 则为 $Z \leq 17$ 。

現在如將齒條的齒頂線延長，將于嚙合線相交于嚙合線的最大允許範圍以外，因而齒條齒牙向齒輪要求的“最高齒槽輪廓”是曲線 $ECFVDK$ （右边的一半未繪出）。其中線段 EF 是漸開線；線段 FVD 是齒條的齒角 V 点的相對運動軌跡，它是延長漸開線 $MFVDN$ 的一部分，此時延長漸開線不與漸開線相切而是相截了；線段 DK 是齒條齒頂直線相對運動軌跡的包絡線，它是一段圓弧，半徑等於 $r_a - fm$ 。

很明顯的，如果把齒輪的齒形和過渡曲線做成 $ECFAVDK$ 形狀，則不但沒有徑向間隙，而齒

① 因为啮合节点是齿条相对于齿轮回转的瞬时中心，所以在图示的位置上，齿条的齿角 V 点相对于齿轮回运动的方向应垂直于直线 PB ，因此延长渐开线 $MBDN$ 在 B 点的切线应垂直于 PB ；此外，因渐开线 EB 在 B 点的切线也垂直于 PB ，故延长渐开线与渐开线相切于 B 点。

轮牙齿的 FAT' 部分将干涉齿条牙齿的运动，当齿轮的齿数愈少，则此干涉部分愈大。因而过渡曲线应做成 CBG ，使它低于“最高齿槽轮廓”。

另一方面，可以想象，若将图中的齿条作为刀具来切此齿轮，则齿轮根部将被切去一段渐开线，这个现象叫做“根切现象”，或简称切根。齿轮的齿数愈少，则切根愈严重。齿轮被切根是不好的，在一般情况下都要避免。

由图 1-11 及 1-12, a 可知，当

$$Z = \frac{2f}{\sin^2 \alpha_0}$$

时，齿条的齿顶线刚好通过啮合线与基圆的切点 A。如果齿条是刀具，则齿轮刚好不被切根。此时设想将刀具齿高加大 C(图 1-12, b)，加高以后的齿顶线是以圆弧与两个侧切削刃连接的。圆弧半径为

$$r = \frac{c}{1 - \sin \alpha_0},$$

即圆弧与侧切削刃相切于原来的齿角 V 点。那末，用这个加大了齿高的刀具去切齿数为 $Z = 2f / \sin^2 \alpha_0$ 的齿轮时，还是可以不发生根切现象的。为甚么呢？因为我们可以设想作一直线 ab 连接两个圆弧中心点 a 和 b，并通过此二点各作直线 ac 及 bd 平行于邻近的侧切削刃，如图中虚线所示。则 a 点和 b 点即为齿条 cabd 的齿角。若齿角 a 点相对于齿轮的运动轨迹为延长渐开线 man，那末这延长渐开线在 a 点的切线必与啮合线 pa 垂直。而刀具圆角上的各点相对于齿轮的运动轨迹必为 man 的等距线，它是以 man 上各点为圆心而以 r 为半径所作无穷多圆弧的包络线。由于延长渐开线 man 在 a 点的切线垂直于 pa，故其等距线在 A 点的切线亦垂直于 PA，亦即与齿轮的渐开线齿形相切于 A 点，即不切根。

由上所述可知，延长渐开线对于决定齿轮的过渡曲线有重要的意义，因此在这里写出延长渐开线的参数方程式(参阅图 1-13)：以齿轮的齿槽对称线 oy 为纵坐标轴，并取与其垂直的直径 ox 为横坐标轴，由图可得

$$x = \overline{p'p} \cos \theta + fm \sin \theta + \left(\frac{m\pi}{2 \times 2} - fm \tan \alpha_0 \right) \cos \theta - \overline{op'} \sin \theta,$$

$$y = \overline{op'} \cos \theta + \overline{p'p} \sin \theta - fm \cos \theta + \left(\frac{m\pi}{2 \times 2} - fm \tan \alpha_0 \right) \sin \theta,$$

现因

$$\overline{p'p} = \overline{p'p} = r_s \theta = \frac{mZ}{2} \theta,$$

又因

$$\overline{op'} = r_s = \frac{mZ}{2},$$

代入前二式并简化之可得

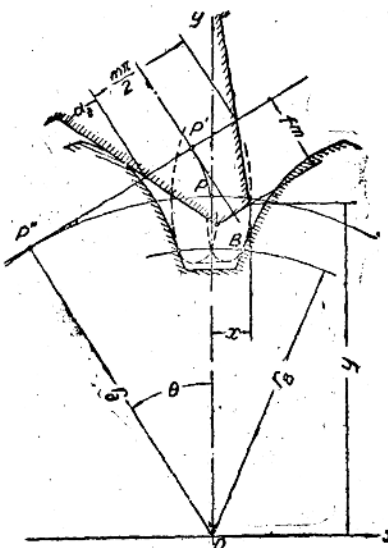


图 1-13: 延长渐开线的方程式。

$$\begin{aligned} x &= m \left[\left(\frac{Z}{2} \theta + \frac{\pi}{4} - f \operatorname{tg} \alpha_2 \right) \cos \theta - \left(\frac{Z}{2} - f \right) \sin \theta \right], \\ y &= m \left[\left(\frac{Z}{2} \theta + \frac{\pi}{4} - f \operatorname{tg} \alpha_2 \right) \sin \theta + \left(\frac{Z}{2} - f \right) \cos \theta \right]. \end{aligned} \quad (1-40)$$

式中 f —— 齿高系数, 平时 $f=1$; θ —— 参变数(单位是弧度);

Z —— 与齿条啮合的齿条齿数; m —— 齿轮的模数;

α_2 —— 齿轮的齿形角。

当齿轮的牙齿有作薄量 ΔS_2 时, 上式中的 $\frac{\pi}{4}$ 应以 $\frac{\pi}{4} + \frac{\Delta S_2}{2m}$ 代替。

齿轮与齿条啮合时, 也可能发生干涉。在图 1-14 中, B 点是外圆 R_{e2} 和啮合线的交点——极限啮合点, 它在啮合线的最大允许范围内。曲线 $EBDK$ 是齿轮 2 的牙齿向齿轮 1 要求的“最高齿槽轮廓”(右边的一半未绘出)。其中线段 EB 为渐开线, 它是齿轮 2 牙齿左侧面渐开线的相对运动轨迹的包络线; 线段 BD 是齿轮 2 牙齿齿角 V 点的相对运动轨迹, 它是延长外摆线 $MBDN$ 的一部分; 线段 DK 是齿轮 2 牙齿齿顶圆弧的相对运动轨迹的包络线, 它是一段圆弧, 半径等于 $A - R_{e2}$ 。如果齿轮 1 的过渡曲线做成高于“最高齿槽轮廓”, 即便是高出一点点, 就会干涉齿轮 2 牙齿的运动。因此应做成图中所示的 BG 曲线。

可以证明: 在此情况下延长外摆线 $MBDN$ 是和渐开线 EB 相切于 B 点的, 切点 B 到 O_1 的半

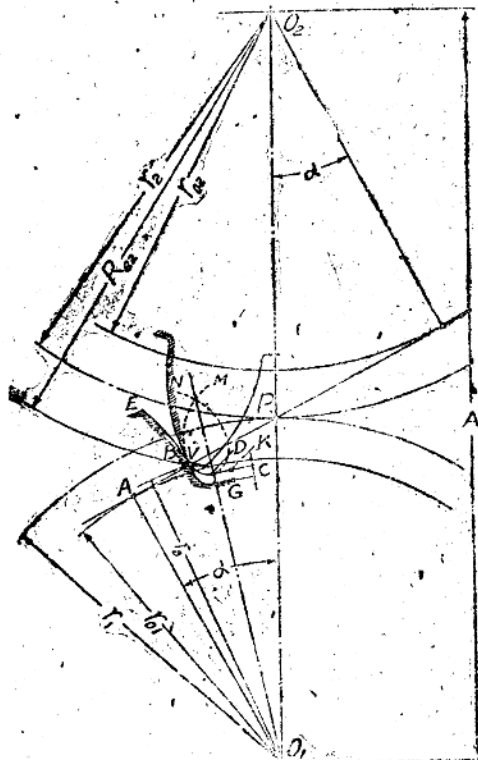


图 1-14. 齿轮与齿条啮合时的过渡曲线。

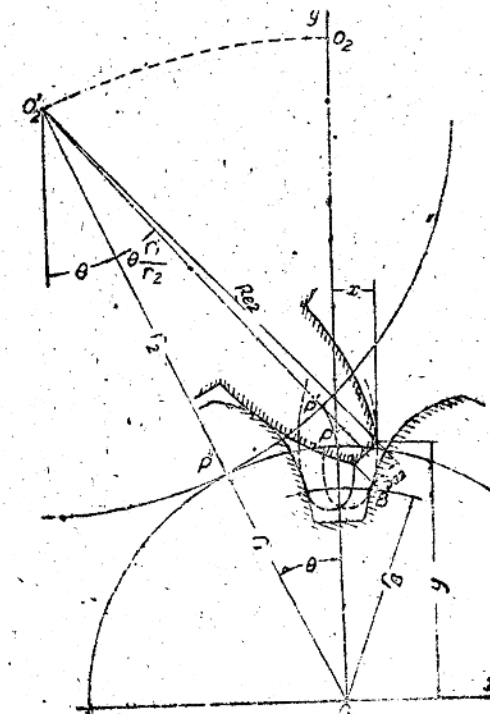


图 1-15. 延长外摆线的方程式。